

---

# Radiační metoda

**© 1996-2001 Josef Pelikán  
KSVI MFF UK Praha**

e-mail: [Josef.Pelikan@mff.cuni.cz](mailto:Josef.Pelikan@mff.cuni.cz)

WWW: <http://cgg.ms.mff.cuni.cz/~pepca/>

# Globální výpočet osvětlení

---

- ◆ založen na **fyzikálním principu**
  - propagace energie (světla) v difusním prostředí
  - první použití v syntéze obrazu: C. Goral 1984
- ➔ dokáže dobře spočítat **měkké osvětlení**, sekundární odrazy světla, ..
- ➔ základní metoda nezvládá **ostré světlo**, zrcadlové odrazy, ..
- ➔ **časově náročnější** než rek. sledování paprsku

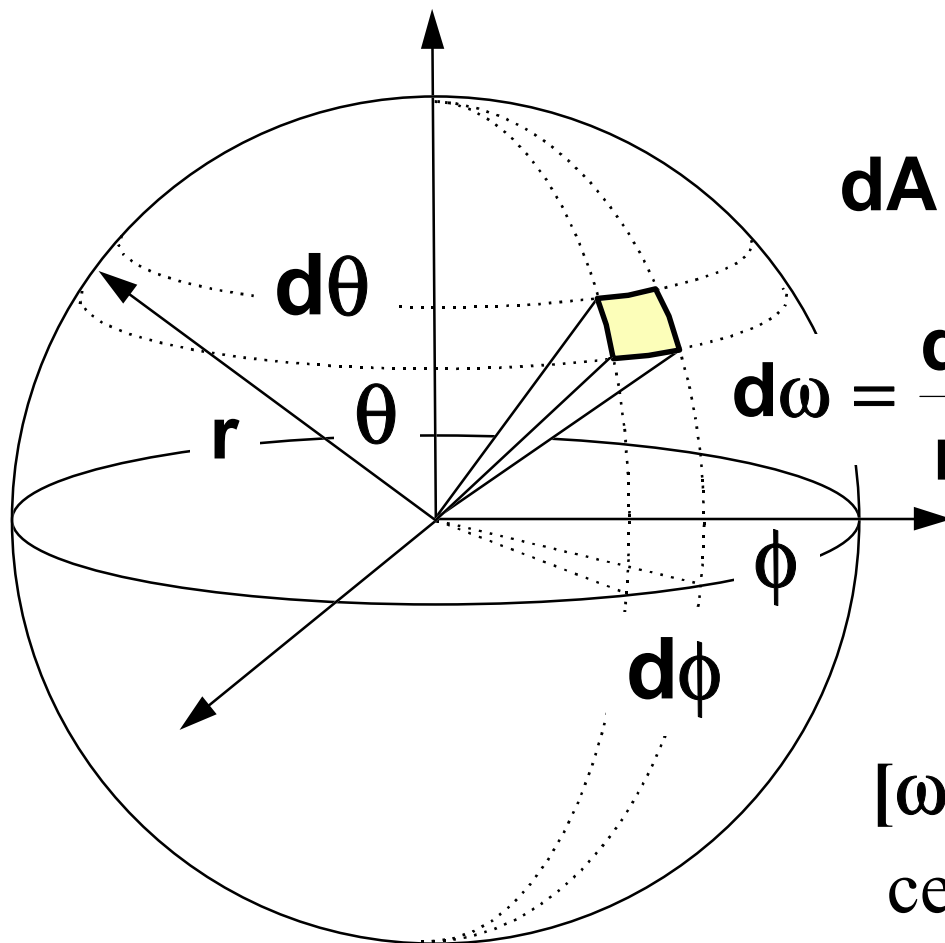
# Základní radiometrické veličiny

---

- ➔ množství **energie** přijaté (emitované) nějakou částí plochy:  $Q_{in}$  ( $Q_{out}$ ) [ **Joul** ]
- ➔ **výkon** přijímaný (emitovaný) nějakou částí plochy:  $\Phi_{in}$  ( $\Phi_{out}$ ) [ **Joul/sec = Watt** ]
- ➔ přijímaná (emitovaná) **radiosita** (hustota výkonu na ploše):  $B_{in}$  ( $E$ ,  $B_{out}$ ) [ **Watt/m<sup>2</sup>** ]
- ➔ **intenzita** (hustota výkonu v prostorovém úhlu  $\omega$ ):  $I = d\Phi/d\omega$  [ **W/sr** ]

# Prostorové úhly

---



$$dA = r^2 \sin\theta \, d\theta \, d\phi$$

$$d\omega = \frac{dA}{r^2} = \sin\theta \, d\theta \, d\phi$$

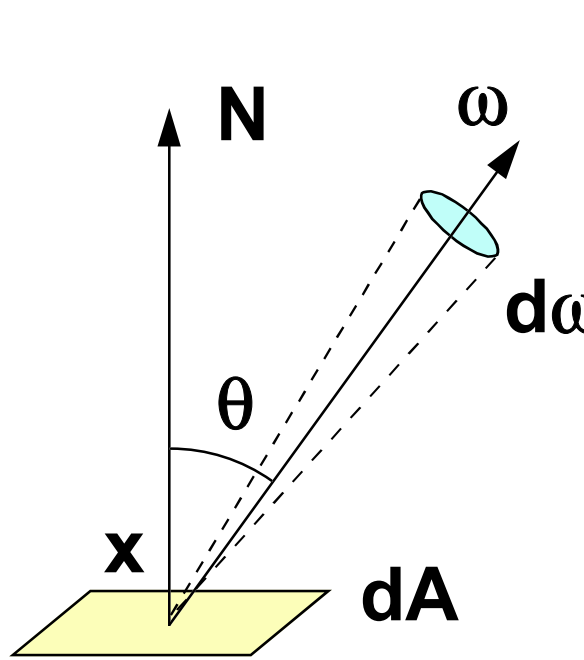
[ $\omega$ ] .. steradián (sr)

celá sféra má  $4\pi$  sr

# Radiance

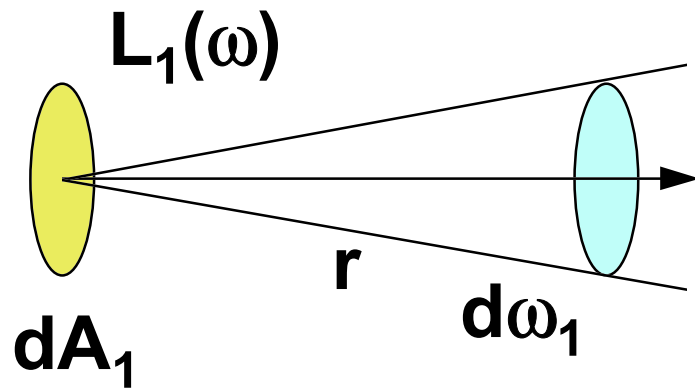
---

- přijímaná (emitovaná) **radiance** ve směru úhlu  $\omega$ :  $L_{in}(\omega)$  ( $L_e(\omega)$ ,  $L_{out}(\omega)$ ) [  $W/(m^2 \square sr)$  ]


$$\begin{aligned} L_{out}(\mathbf{x}, \omega) &= \frac{d^2\Phi}{dA d\omega \cos\theta} \\ &= \frac{dB_{out}}{d\omega \cos\theta} \\ &= \frac{dl}{dA \cos\theta} \end{aligned}$$

# Zákon zach. energie v paprsku

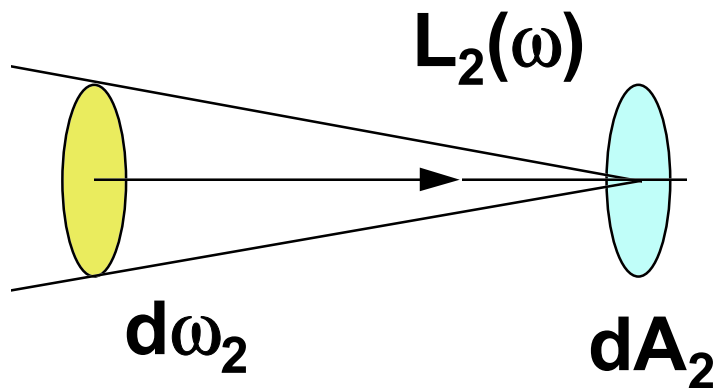
---



$$L_1 d\omega_1 dA_1 = L_2 d\omega_2 dA_2$$

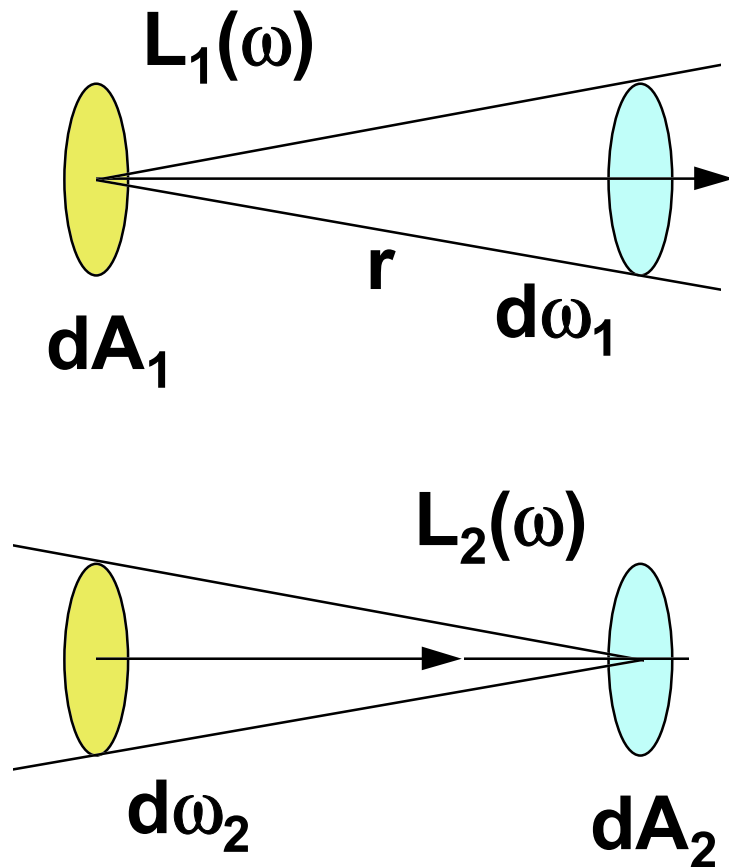
emitovaný  
výkon

přijímaný  
výkon



# Zákon zach. energie v paprsku

---



$$L_1 d\omega_1 dA_1 = L_2 d\omega_2 dA_2$$

$$\underline{T} = d\omega_1 dA_1 = d\omega_2 dA_2 =$$
$$= \frac{dA_1 dA_2}{r^2}$$

kapacita paprsku

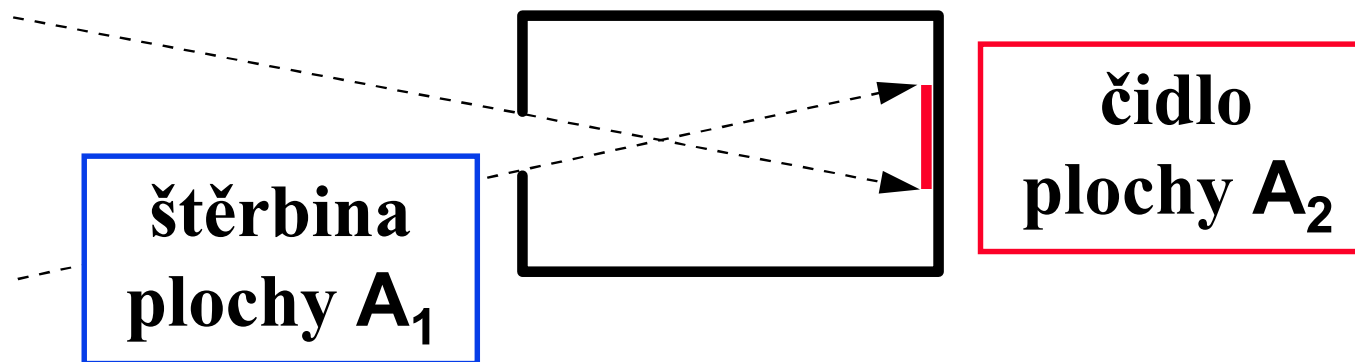
$$L_1 = L_2$$

paprsek ... radiance L

# Měření světla

---

- ➔ **naměřená veličina** je přímo úměrná **radianci** viditelné části scény



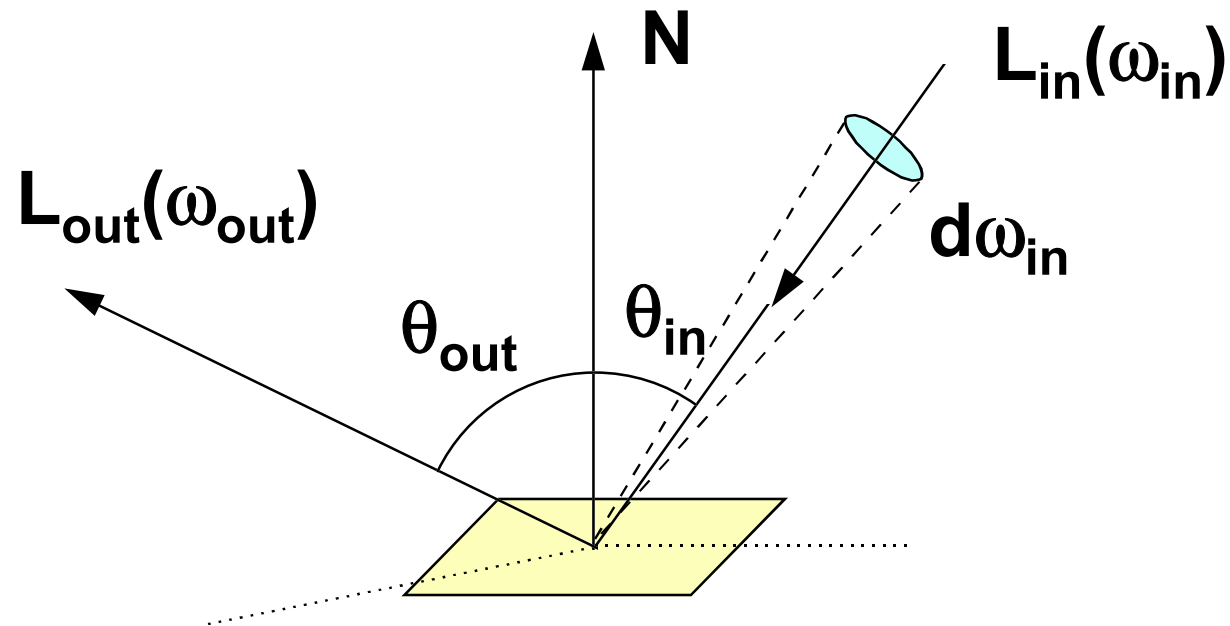
$$\underline{R} = \int_{A_2} \int_{\Omega} L_{in}(\mathbf{A}, \omega) \cdot \cos \theta \, d\omega \, dA = \underline{L_{in}} \cdot T$$



# BRDF (funkce odrazivosti)

---

(“bidirectional reflection distribution function”)



$$\mathbf{f}(\omega_{\text{in}} \rightarrow \omega_{\text{out}}) = \frac{\mathbf{L}_{\text{out}}(\omega_{\text{out}})}{\mathbf{L}_{\text{in}}(\omega_{\text{in}}) \cdot \cos \theta_{\text{in}} \cdot d\omega_{\text{in}}} \quad [\text{sr}^{-1}]$$

# Helmholtzův zákon, ..

---

➔ pro **reálné** povrchy těles (vyhovující fyzikálním zákonům) platí:

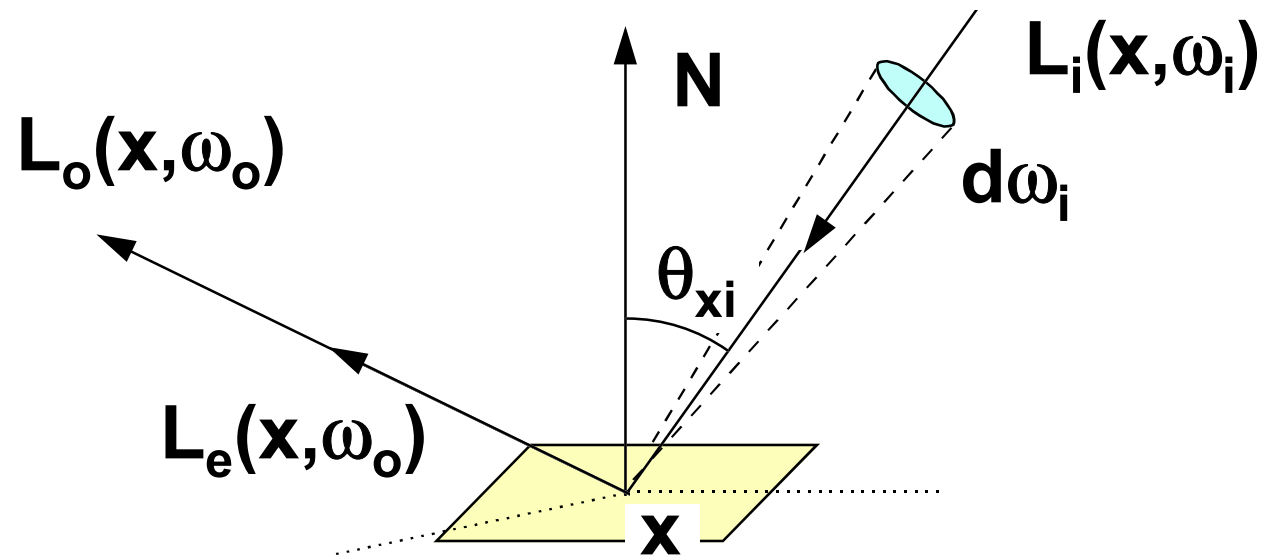
$$\mathbf{f}(\omega_{\text{in}} \rightarrow \omega_{\text{out}}) = \mathbf{f}(\omega_{\text{out}} \rightarrow \omega_{\text{in}})$$

➔ obecná **BRDF** nemusí být **isotropní** (invariantní k otočení kolem normály)  
– kovové povrchy leštěné v jednom směru, ..

$$\mathbf{f}(\theta_{\text{in}}, \phi_{\text{in}}, \theta_{\text{out}}, \phi_{\text{out}}) \neq \mathbf{f}(\theta_{\text{in}}, \phi_{\text{in}} + \phi, \theta_{\text{out}}, \phi_{\text{out}} + \phi)$$

# Lokální rovnice (OVTIGRE)

(“outgoing, vacuum, time-invariant, gray radiance equation”)

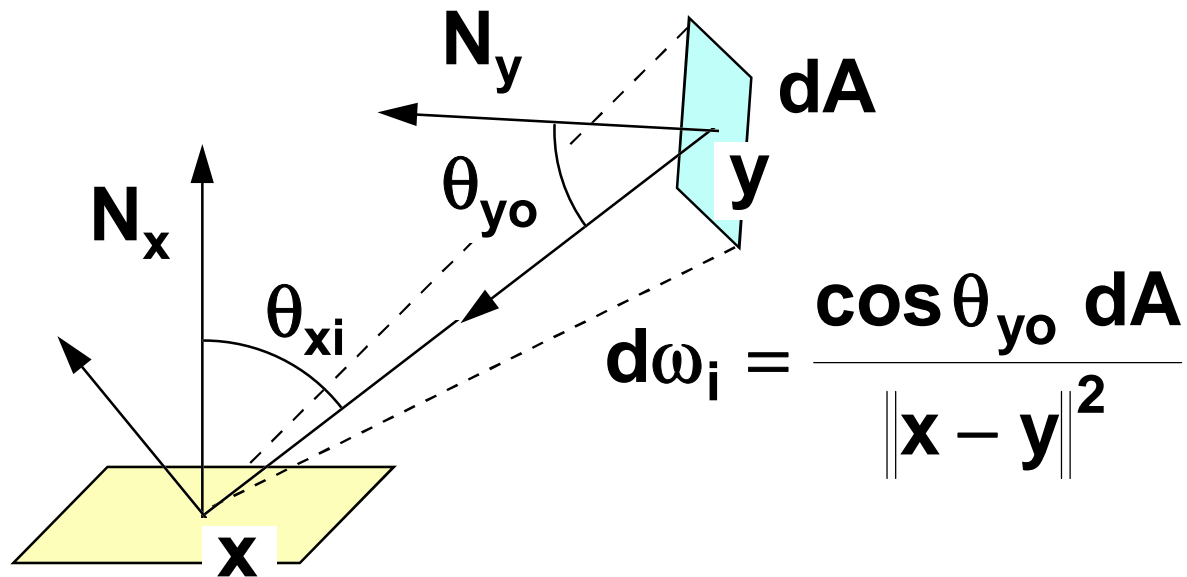


vlastní vyzařování

$$\mathbf{L}_o(\mathbf{x}, \omega_o) = \mathbf{L}_e(\mathbf{x}, \omega_o) + \int \mathbf{f}(\mathbf{x}, \omega_i \rightarrow \omega_o) \cdot \mathbf{L}_i(\mathbf{x}, \omega_i) \cdot \cos \theta_{xi} \, d\omega_i$$

# Radiance přijímaná z plochy

---



Geometrický člen:  $G(y, x) = \frac{\cos \theta_{yo} \cos \theta_{xi}}{\|x - y\|^2}$

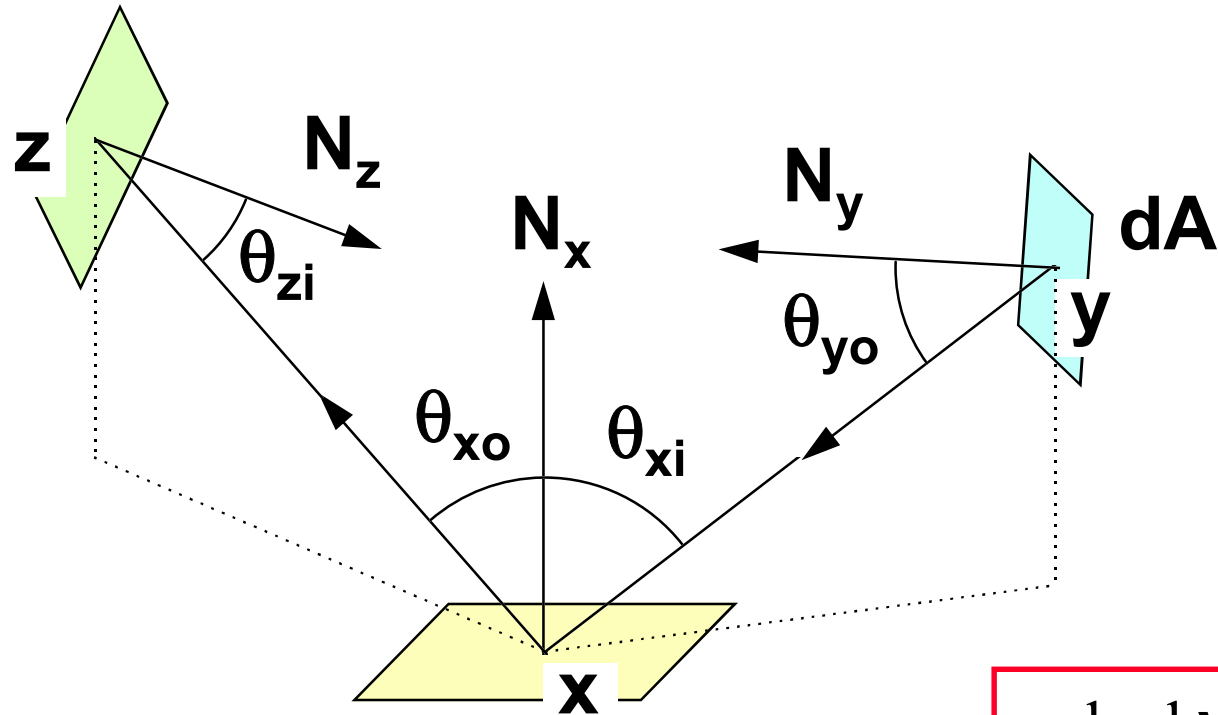
# Radiance přijímaná z plochy

---

$$\begin{aligned} L_o(\mathbf{x}, \omega_o) &= \text{integrál přes všechny úhly} \\ &= L_e(\mathbf{x}, \omega_o) + \int_{\Omega} f(\mathbf{x}, \omega_i \rightarrow \omega_o) \cdot L_i(\mathbf{x}, \omega_i) \cdot \cos \theta_{xi} \, d\omega_i = \\ &= L_e(\mathbf{x}, \omega_o) + \int_{\mathbf{S}} f(\mathbf{x}, \omega_i \rightarrow \omega_o) \cdot L_o(\mathbf{y}, -\omega_i) \cdot \mathbf{G}(\mathbf{y}, \mathbf{x}) \, dA \\ & \quad \text{integrál přes vyzařující plošku} \end{aligned}$$

za předpokladu, že z bodu  $\mathbf{x}$  je vidět celá plocha  $\mathbf{S}$

# Šíření světla odrazem



pokud  $\mathbf{y}$  vidí  $\mathbf{x}$

Označení:  $\underline{\mathbf{L}(\mathbf{y}, \mathbf{x})} = \mathbf{L}_o(\mathbf{y}, \mathbf{x} - \mathbf{y}) = \mathbf{L}_i(\mathbf{x}, \mathbf{y} - \mathbf{x})$

$\underline{\mathbf{f}(\mathbf{y}, \mathbf{x}, \mathbf{z})} = \mathbf{f}(\mathbf{x}, (\mathbf{y} - \mathbf{x}) \rightarrow (\mathbf{z} - \mathbf{x}))$

# Rovnice pro nepřímou radianci

---

$$V(\mathbf{y}, \mathbf{x}) = \begin{cases} \mathbf{1} & \text{pokud } \mathbf{y} \text{ vidí } \mathbf{x} \\ \mathbf{0} & \text{jinak} \end{cases}$$

$$\underline{L(\mathbf{x}, \mathbf{z})} = \underline{L_e(\mathbf{x}, \mathbf{z})} + \int_S \underline{f(\mathbf{y}, \mathbf{x}, \mathbf{z})} \cdot \underline{L(\mathbf{y}, \mathbf{x})} \cdot \underline{G(\mathbf{y}, \mathbf{x})} \cdot \underline{V(\mathbf{y}, \mathbf{x})} \, dA$$

vlastní (emitovaná)  
radiance

BRDF

geometrické  
členy

# Rovnice pro radiositu

---

- ➔ předpokládáme **ideálně difusní** povrch:
- **BRDF** není závislá na vstupním a výstupním úhlu
  - výstupní radiance  **$L(\mathbf{y}, \omega)$**  nezávisí na směru  $\omega$

$$L(\mathbf{x}, \mathbf{z}) = L_e(\mathbf{x}, \mathbf{z}) + f(\mathbf{x}) \cdot \int_S L(\mathbf{y}, \mathbf{x}) \cdot \mathbf{G}(\mathbf{y}, \mathbf{x}) \cdot V(\mathbf{y}, \mathbf{x}) dA$$

$$L(\mathbf{x}, \mathbf{z}) = B(\mathbf{x}) / \pi, \quad L_e(\mathbf{x}, \mathbf{z}) = E(\mathbf{x}) / \pi, \quad f(\mathbf{x}) = \rho(\mathbf{x}) / \pi$$

$$B(\mathbf{x}) = E(\mathbf{x}) + \rho(\mathbf{x}) \cdot \int_S B(\mathbf{y}) \cdot \frac{\mathbf{G}(\mathbf{y}, \mathbf{x}) \cdot V(\mathbf{y}, \mathbf{x})}{\pi} dA$$



# Diskrétní řešení radiační rovnice

---

$$\mathbf{B}(\mathbf{x}) = \mathbf{E}(\mathbf{x}) + \rho(\mathbf{x}) \cdot \int_{\mathbf{S}} \mathbf{B}(\mathbf{y}) \cdot \mathbf{g}(\mathbf{y}, \mathbf{x}) \, dA$$

$$\text{kde } \mathbf{g}(\mathbf{y}, \mathbf{x}) = \frac{\mathbf{G}(\mathbf{y}, \mathbf{x}) \cdot \mathbf{V}(\mathbf{y}, \mathbf{x})}{\pi}$$

- ◆ řešení  $\mathbf{B}$  je nekonečně-dimenzionální
- ➔ diskretizace problému:
  - **Monte-Carlo** ray-tracing (řešení závislé na pohledu)
  - klasické **radiační metody** (konečné/hraniční prvky)

# Obecná radiační metoda

---

- 1 rozdělení ploch na konečný počet **elementů**
- 2 určení polohy **uzlových bodů** na elementech
  - v těchto bodech se bude počítat hodnota **radiosity**
- 3 volba **aproximační metody** a chybové metriky
  - systém basických funkcí pro lineární (konvexní) kombinace hodnot v uzlových bodech
- 4 výpočet **koeficientů** soustavy lineárních rovnic
  - “konfigurační faktory” (“form-factors”)

# Obecná radiační metoda

---

- ⑤ řešení **soustavy lineárních rovnic**
  - výsledek: radiosita v uzlových bodech
- ⑥ rekonstrukce přibližného řešení na **celých plochách**
  - lineární kombinace bazických funkcí pomocí hodnot v uzlových bodech
- ⑦ **zobrazení** výsledku (libovolný směr pohledu)
  - intenzita osvětlení závisí na spočítané radiositě

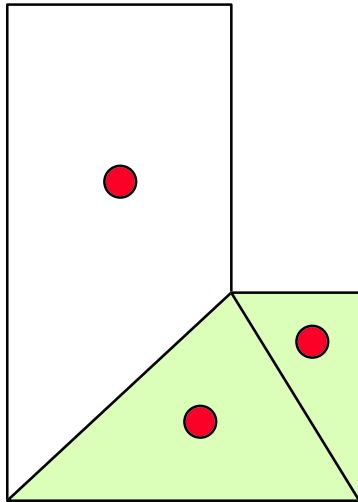
# Poznámky

---

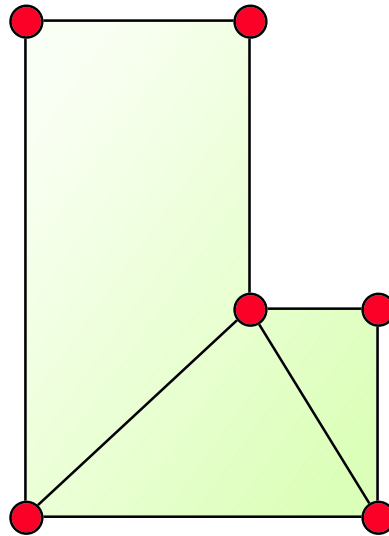
- ◆ krok ③ se provádí ve fázi **návrhu algoritmu**
  - v implementaci se přímo neobjevuje
- ◆ některé **zdokonalené metody** nepostupují striktně posloupností kroků ① až ⑦
  - často se výpočet v některých fázích vrací a opakují se předcházející kroky (s lepší aproximací, lepším rozlišením, ..)

# Aproximace radiosity

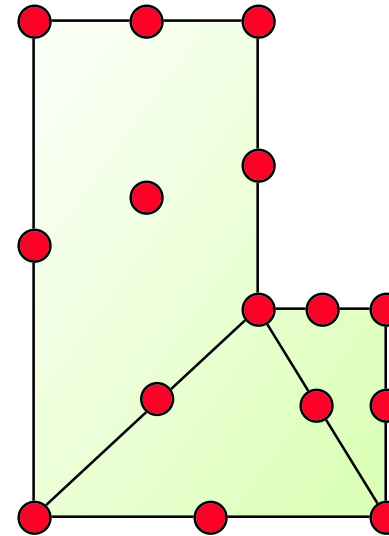
---



**konstantní**  
(uzly jsou  
těžiště ploch)



**bilineární**  
(uzly jsou  
ve vrcholech)



**kvadratická**  
(další uzly jsou  
uprostřed hran  
a stěn)

# Metoda konstantních elementů

---

- ➔ na elementu  $\mathbf{A}_i$  předpokládám konstantní odrazivost  $\rho$  a radiositu  $\mathbf{B}$  - průměr hodnot  $\mathbf{B}(\mathbf{x})$ :
- značení:  $\rho_i, \mathbf{B}_i$  pro  $i = 1 .. N$

$$\mathbf{B}(\mathbf{x}) = \mathbf{E}(\mathbf{x}) + \rho(\mathbf{x}) \cdot \int_S \mathbf{B}(\mathbf{y}) \cdot \mathbf{g}(\mathbf{y}, \mathbf{x}) \, d\mathbf{A}$$

↙ průměr přes plochu  $\mathbf{A}_i$

$$\mathbf{B}_i = \mathbf{E}_i + \rho_i \cdot \frac{1}{A_i} \int_{A_i} \left[ \sum_{j=1}^N \mathbf{B}_j \int_{A_j} \mathbf{g}(\mathbf{y}, \mathbf{x}) \, d\mathbf{A}_j \right] d\mathbf{A}_i$$

radiosita přijímaná v bodě  $\mathbf{x}$  (ležícím na  $\mathbf{A}_i$ )

# Základní rovnice pro radiositu

---

přehození sumy a integrálu:

$$\mathbf{B}_i = \mathbf{E}_i + \rho_i \cdot \sum_{j=1}^N \mathbf{B}_j \cdot \frac{1}{A_i} \int_{A_i} \int_{A_j} g(\mathbf{y}, \mathbf{x}) dA_j dA_i$$

geometrický člen - **konfigurační faktor  $F_{ij}$**   
(část energie vyzářené ploškou  $\mathbf{A}_i$  dopadající na  $\mathbf{A}_j$ )

$$\mathbf{B}_i = \mathbf{E}_i + \rho_i \cdot \sum_{j=1}^N \mathbf{B}_j F_{ij} \quad \left[ \frac{\text{W}}{\text{m}^2} \right]$$

# Fyzikálně intuitivní odvození

---

$$\mathbf{B}_i \mathbf{A}_i = \mathbf{E}_i \mathbf{A}_i + \rho_i \cdot \sum_{j=1}^N \mathbf{B}_j \mathbf{A}_j \mathbf{F}_{ji} \quad [\text{W}]$$

emitovaný výkon = vlastní výkon + odražený výkon

reciproční pravidlo:  $\mathbf{A}_j \mathbf{F}_{ji} = \mathbf{A}_i \mathbf{F}_{ij}$

$$\mathbf{B}_i \mathbf{A}_i = \mathbf{E}_i \mathbf{A}_i + \rho_i \cdot \sum_{j=1}^N \mathbf{B}_j \mathbf{F}_{ij} \mathbf{A}_i \quad \Big| \cdot \mathbf{A}_i^{-1}$$

$$\mathbf{B}_i = \mathbf{E}_i + \rho_i \cdot \sum_{j=1}^N \mathbf{B}_j \mathbf{F}_{ij} \quad \left[ \frac{\text{W}}{\text{m}^2} \right]$$

---



# Soustava lineárních rovnic

---

$$\underline{B_i} - \rho_i \cdot \sum_{j=1}^N \underline{B_j} F_{ij} = E_i \quad i = 1..N$$

$$\begin{bmatrix} 1 - \rho_1 F_{1,1} & -\rho_1 F_{1,2} & \dots & -\rho_1 F_{1,N} \\ -\rho_2 F_{2,1} & 1 - \rho_2 F_{2,2} & \dots & -\rho_2 F_{2,N} \\ \dots & \dots & \dots & \dots \\ -\rho_N F_{N,1} & -\rho_N F_{N,2} & \dots & 1 - \rho_N F_{N,N} \end{bmatrix} \begin{bmatrix} B_1 \\ B_2 \\ \dots \\ B_N \end{bmatrix} = \begin{bmatrix} E_1 \\ E_2 \\ \dots \\ E_N \end{bmatrix}$$

vektor neznámých  $[B_i]$

# Soustava lineárních rovnic

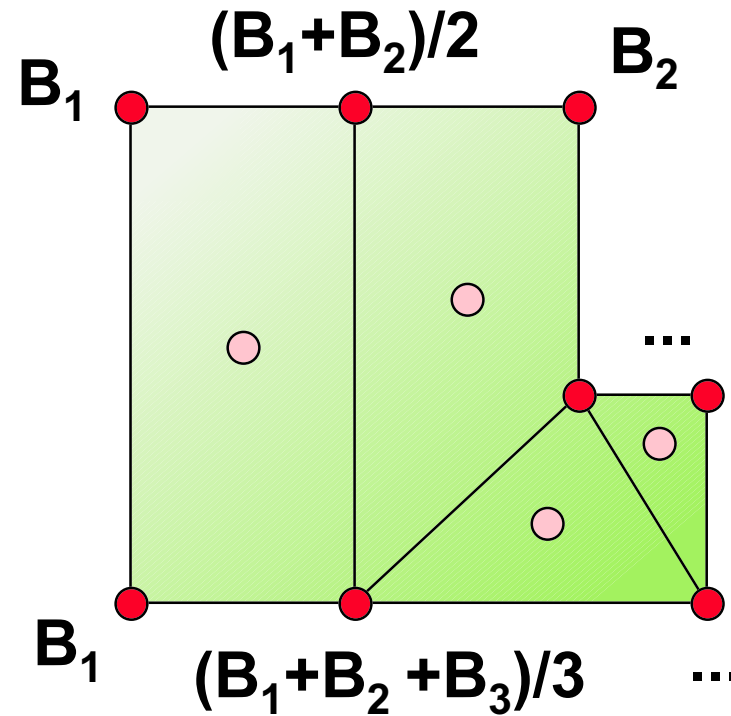
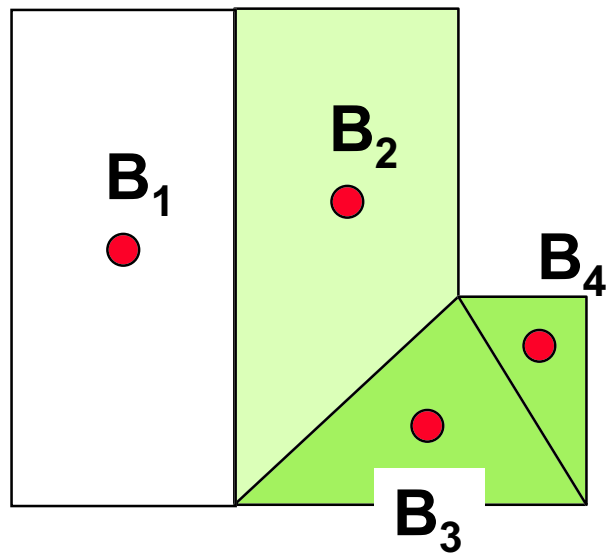
---

- ➔ pro **rovinné plošky** platí:  $F_{ii} = 0$ 
  - na diagonále jsou pouze jedničky
- ➔ **nediagonální prvky** matice mají typicky malou absolutní hodnotu
  - matice je “diagonálně dominantní”
  - ⇒ soustava je stabilní a lze ji úspěšně řešit **iteračními metodami** (Jacobi, Gauss-Seidel)
- ➔ při **změně osvětlení  $[E_i]$**  se nemusí soustava počítat znovu (používáme-li přímou metodu)

# Přenos radiosity do vrcholů

---

I v metodě konstantních elementů je při zobrazování žádoucí použít alespoň **Gouraudovu interpolaci barvy**



# Konec

---

## **Další informace:**

- **A. Glassner: *Principles of Digital Image Synthesis*, Morgan Kaufmann, 1995, 871-937**
- **M. Cohen, J. Wallace: *Radiosity and Realistic Image Synthesis*, Academic Press, 1993, 13-64**
- **J. Foley, A. van Dam, S. Feiner, J. Hughes: *Computer Graphics, Principles and Practice*, 793-804**